

чением, определяемым формулой (6), т.к. для неориентированных молекул $C_2 = 0$. Поэтому полученное из экспериментальной кривой значение отношения ζ следует рассматривать как нижнюю оценку этого отношения. Учет парциальных волн с большими значениями $\frac{C_2}{C_1}$ может привести как к уменьшению, так и к увеличению отношения $\frac{C_2}{C_1}$ по сравнению с величиной, определяемой формулой (6).

Список литературы

- [1] С h e r e p k o v N.A., K u z n e t s o v V.V. // Z. Phys. D. 1987. V. 7. N 3. P. 271-280.
- [2] T u l l y J.C., B e r r y R.S., D a l t o n B.J. / Phys. Rev. 1968. V. 176. N 1. P. 95-105.
- [3] D i l l D. // J. Chem. Phys. 1976. V. 65. N 3. P. 1130-1133.

Поступило в Редакцию
19 февраля 1990 г.

Письма в ЖТФ, том 16, вып. 10

26 мая 1990 г.

05.3; 07; 12

© 1990

ИМПУЛЬСНАЯ ГЕНЕРАЦИЯ CO_2 ЛАЗЕРА С УПРАВЛЯЕМЫМ VO_2 ЗЕРКАЛОМ

Н.Ф. Б оч о р и ш в и л и, Ю.М. Г е р б ш т е й н,
О.Б. Д а н и л о в, В.А. К л и м о в,
Н.Ю. С е н ц о в, И.А. Х а х а е в,
Ф.А. Ч у д н о в с к и й

В настоящей работе сообщается об управлении генерацией CO_2 лазера на длине волны 10.6 мкм при помощи многослойного оптического резонатора - управляемого лазерного зеркала, содержащего слой двуокиси ванадия. Управление основано на перестройке резонатора в результате фазового перехода диэлектрик-металл в слое двуокиси ванадия при нагревании слоя. Возбуждение заданной моды происходит при нагреве заданного участка зеркала импульсами лазера на неодимовом стекле.

О создании зеркала для CO_2 лазера, принцип действия которого основан на перестройке оптического резонатора при фазовом переходе металл-диэлектрик, а также об управлении таким зеркалом при помощи электронного луча сообщалось в работах [1-3].

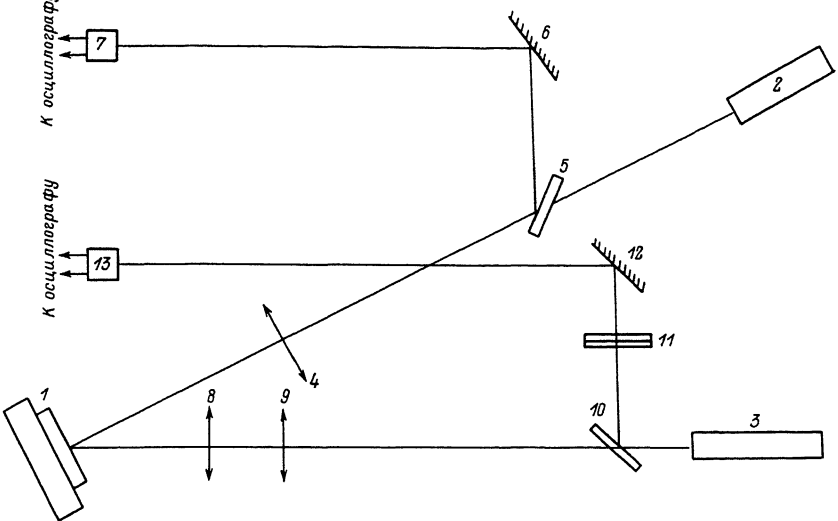


Рис. 1. Схема экспериментальной установки.

1 - управляемое $V\theta_2$ зеркало на термостатируемом нагревателе; 2 - излучатель CO_2 лазера; 3 - излучатель Nd лазера; 4 - германцевая линза; 5 - германцевый светоделитель; 6, 12 - металлические зеркала; 7 - КРТ приемник; 8, 9 - объектив для изменения плотности энергии возбуждающего пучка; 10 - светоделитель (стекло БС-5); 11 - стола ослабителей; 13 - приемник ФД-256.

Конструкция управляемого зеркала и его основные характеристики описаны в работе [3].

Схема установки показана на рис. 1.

Управляемое зеркало 1 устанавливалось на термостатируемом нагревателе и играло роль одного из зеркал резонатора CO₂ лазера. Вывод излучения из резонатора осуществлялся при помощи германьевого светоделителя 5. Использование в резонаторе германевой линзы 4 облегчало юстировку. Включение непрерывной неуправляемой генерации происходило при нагреве зеркала 1 до 63 °С. При охлаждении зеркала срыв генерации наступал по достижении 52 °С. Наличие генерации регистрировалось КРТ-приемником 7, охлаждаемым жидким азотом. Сигнал с приемника регистрировался осциллографом С9-8.

В исходном состоянии зеркало термостатировали при температуре 50 °C, при которой генерация отсутствовала.

Генерацию импульсов возбуждали импульсами управляющего лазера З. Лазер З работал как в режиме свободной генерации, так и в режиме пассивной модуляции добротности. Частота повторения импульсов возбуждения составляла 12.5 Гц. Часть энергии импуль-

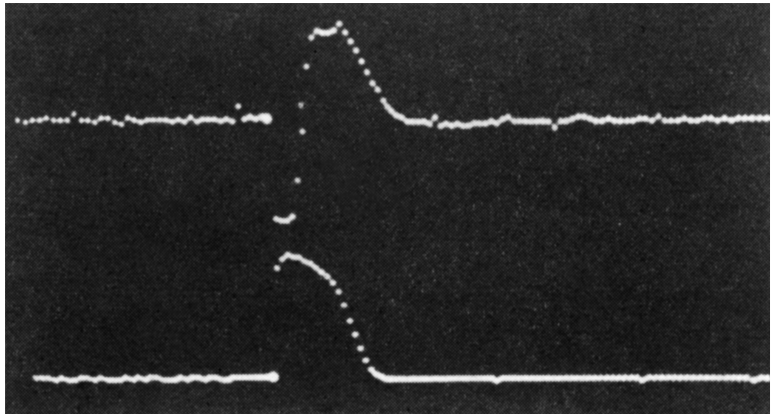


Рис. 2. Осциллограммы импульсов возбуждения и генерации. Верхняя кривая – импульс генерации, нижняя кривая – импульс возбуждения.

сов возбуждения отводилась на приемник 13 для определения задержки импульса генерации относительно возбуждающего импульса.

При работе в режиме свободной генерации энергия возбуждающего импульса составляла 160 мДж при длительности импульса 0.5 мс. Импульс генерации совпадал по длительности с возбуждающим импульсом, причем задержка отсутствовала в пределах длительности фронтов импульсов. Осциллограммы импульсов показаны на рис. 2.

При работе в режиме модулированной добротности энергия возбуждающего импульса составляла 20 мДж при длительности импульса 40 нс. В этом режиме исследовались задержка и длительность фронта импульса отклика CO_2 лазера. Диаметр сечения возбуждающего пучка в плоскости VO_2 зеркала порядка 1 см.

Длительность задержки составляла 400 нс, а время нарастания импульса генерации составляло 1 мкс.

Список литературы

- [1] Chivian Jay S., Case W.E., Restor D.H. // IEEE J. Quantum Electronics. 1979. V. QE-15. N 12. P. 1326–1328.
- [2] Chivian Jay S., Scott M.W., Case W.E., Krasutsky N.J. // IEEE J. Quantum Electronics. 1985. V. QE-21. N 4. P. 383–390.

[3] Бочоришвили Н.Ф., Введенский В.Д.,
Гербштейн Ю.М., Данилов О.Б., Кли-
мов В.А., Сенцов Н.Ю., Чудновский Ф.А.,
Шадрин Е.Б. // ЖТФ. 1989. Т. 59. В. 10. С. 83–87.

Поступило в Редакцию
27 февраля 1990 г.

Письма в ЖТФ, том 16, вып. 10

26 мая 1990 г.

04; 07

© 1990

ВЛИЯНИЕ ДОБАВОК ПРОПИЛЕНА НА РАБОТУ ШИРОКОАПЕРТУРНОГО CO₂ ЛАЗЕРА С ПЛАЗМЕННЫМИ ЭЛЕКТРОДАМИ

А.В. Кислецов, И.О. Kovalev,
А.В. Кораблев, Г.П. Кузьмин,
А.М. Прокоров

В электроразрядных CO₂ лазерах с УФ предионизацией объемный разряд обеспечивается за счет ионизации естественных примесей в газовой смеси CO₂ : N₂ : He. Применение в таких лазерах в качестве источника предионизации и плазменных электродов скользящего по поверхности диэлектрика разряда позволило обеспечить энергетические параметры лазеров, сравнимые с параметрами в лазерах с предионизацией пучком ускоренных электронов [1]. Как показано в работе [2], основной вклад в образование начальной концентрации фотоэлектронов в отсутствии легкоионизуемых добавок вносят примеси углеводородов, в частности пропилена (C₃H₆), которые обладают потенциалами ионизации около 10 эВ. В случае применения плазменных электродов в плазме скользящего разряда происходит образование NO, NO₂, а также CO и O₂. NO и NO₂ сильно электроотрицательные молекулы, поэтому их присутствие в прикатодной области уменьшает предельные энерговклады и длительность объемной фазы существования разряда, ухудшает стабильность разряда. Наиболее подробно реакции, протекающие в CO₂ лазерной смеси при наличии электрического разряда, представлены в работе [3].

Нами показано, что в случае плазменных электродов добавки пропилена в количестве 0.1–0.3 Тор в присутствии мощного электрического разряда приводят к уменьшению образования окислов азота в приэлектродной области. Это позволило в CO₂ лазере с плазменными электродами [1] успешно осуществить объемный раз-